

画像生成用SIMD型 マルチプロセッサシステム MC-2

平井 誠 日高 教行 浅原 重夫 鷺島 敬之

松下電器産業株式会社 無線研究所

筆者らが開発を進めてきた画像生成用マルチコンピュータシステムMC-1の評価と検討を行い、MC-1の浮動小数点演算ユニットの稼働率は43%にすぎず、稼働中も最大性能の10%しか利用されていないことを明らかにする。この低い利用率を改善するため、レイトレーシング法における光線データの流れと物体データの流れとを別々に管理するユニットと、この2つのユニット間でSIMD動作する多数のプロセッサエレメントを設け、空間分割アルゴリズムを適用することにより効率よくレイトレーシング画像を生成するシステムMC-2を提案する。MC-2は大量の物体データの処理やアンチエイリアシング及び分散レイトレーシングの処理において特に有効である。

A SIMD Multiprocessor System MC-2 for Image Generation

Makoto HIRAI, Noriyuki HIDAKA, Sigeo ASAHARA, Takayuki SAGISHIMA

Wireless Research Laboratory, Matsushita Electric Ind. Co., Ltd.

By estimating the performance of an image generating system MC-1, which we have developed, it is shown that Arithmetic Processing Units of MC-1 operate during only 43% of the total processing time with the efficiency of 10% of its maximum performance. After considering the factors that limit the performance of MC-1, we propose an image generating system MC-2, which generates images about 100 times faster than MC-1, that is about 1GFLOPS. MC-2 is a SIMD multiprocessor system specialized for ray tracing space subdivision algorithm. The MC-2 especially efficiently generates image of a scene that have many objects by distribute ray tracing.

1. はじめに

消費者主体型への消費動向の変化に従って、生産のあり方も少品種大量生産から多品種少量生産へと変化しつつある。こうした動きに応じて、髪型シミュレーションや着せ替えシミュレーション等にみられる消費者の好みに合せて製品を組合せて発注するための画像シミュレーションや、試作コスト削減のための画像シミュレーション等の必要性が高まっている。こうした画像シミュレーションに対する要求要件として以下の事項が挙げられる。

①実物どおりの感覚の画像を得られること。

このためにコンピュータグラフィックスの技術が必要であり、特にレイトレーシング法(1)が有効である。

②対話的に画像モデルを操作できること。

このために対話的な操作に耐え得る時間内に画像を生成できることと、モデリング及びシミュレーションの高い機能が必要である。

③実物を試作するよりも低コストであること。

画像生成システム単独であれば実物を試作する方が低コストであっても、統合的CAD/CAM環境として実現すれば全体として低コストに抑えられる。画像生成システムをCAD/CAMのネットワークにシミュレーション&画像生成サーバとして接続する必要がある。

以上の要件を高品質化・高速化・低コスト化という視点から技術の現状と可能性について概観する。まず画像生成の高速化では、次の2方向からの研究成果が挙げられる。

①高速の演算器を並列に動作させる。(2)(3)(4)(5)(6)

②交差判定を効率よく行なうアルゴリズム。(2)(3)(5)(7)(8)

(2)のLINKS-1システムでは物体データが少量の場合はプロセッサ数 p に比例した処理時間が得られるが、物体データ量が各プロセッサの固有メモリ量を超えた場合はプロセッサ間通信のオーバーヘッドによって p に対する処理速度の向上は飽和する。(5)では物体データを空間的に動的分割することで物体データ量がプロセッサの固有メモリ量を超えた場合でも $O(p\%)$ の処理速度が得られるとしている。(7)(8)では物体データを空間的に分割することにより、物体データ量に大きく依存しないような処理時間内でレイトレーシングアルゴリズムをシングルプロセッサで実行できるとしている。

次に高品質化では、次の2点が重要である。

①高解像度化。(9)

②アンチエイリアシング。分散レイトレーシング。(10)

(9)では 2448×2048 画素の解像度をもつカラーCRTに60Hzノンインターレース表示するためのビデオプロセッサと400MHzのD/Aコンバータの報告がある。(10)ではレイトレーシングの光線を従来のレイトレーシングの光線方向のまわりに多数発生させることで、アンチエイリアシング・

物体の動きによって発生するブレを表現するモーションブラ・ふちのぼけた影の表示・ざらざらの表面に他の物体が写り込む様子の表示等のシミュレーションにより現実感の高い画像を生成できる。

低コスト化では次の2点を考える。

①VLSI化

メモリのVLSI化によりメモリのビット当り単価は1~2年ごとに半額程度に落ちている。一方、演算回路についてもVLSI化され、コンパクトで高いコストパフォーマンスが得られるようになってきている。今後の更なる高集積化を考えると、汎用品であるメモリのメモリ単独での高集積化によるメモリのコストダウンはある程度で飽和し、メモリと演算回路の組み合わせによる特定のアプリケーション向けのULSI化の傾向が強くなると考えられる。ULSI時代のコストを考えるには、メモリや演算回路が半導体チップ上で占める面積で評価する必要がある。よって同じコストで高い処理性能を引き出すには、必要となるメモリ量を極小にし、多数の演算回路を並列に動作させ得るアルゴリズムが必要となる。

②ネットワーク化

対話的画像生成環境を実現するためには、ネットワーク中の各ワークステーションに高性能の画像生成システムを持つ必要がある。しかしワークステーションにおいて常に高品質の画像が必要であるわけではないことから、低コスト化のために高性能の画像生成システムは画像生成サーバとしてネットワークに接続し、対話的環境を維持するのに必要最小限の機能だけをワークステーションに残せばよいと考えられる。

本稿では、これまで筆者らが研究開発を行ってきた画像生成システムMC-1を評価し、上記の視点からの見直しによって検討を行う。これに基づいてSIMD型マルチプロセッサで画像生成を効率よく行うシステムMC-2を提案する。

2. 画像生成システムMC-1の構成

3次元画像生成における物体データの座標値や表面属性は、浮動小数点データとして処理されるべきものであり、座標変換や隠面消去、物体表面の輝度計算等の演算は、加減乗除の四則演算を組み合わせることで実行できる。

我々は上記の観点に立ち、高速の浮動小数点演算ユニット(APU)を開発し、このAPUと16ビットマイクロコンピュータMC68000(MPU)との対をユニットコンピュータ(MC)とし、MCをHDLC回線により結合したマルチコンピュータシステムMC-1を開発した(3)。

図1はMC-1のシステム構成図である。MC-1は、ルートコンピュータ (RC) とノードコンピュータ (NC) がHDLC回線 (4 Mbps) により図1の様に接続されたマルチコンピュータシステムであり、RCによる監視のもとで、各NCでは共通のプログラムが実行される。画像生成時、まずRCは、HDLC回線を用いてプログラム及びデータを一齐放送によりNCにダウンロードし、NC上のプログラムを起動する。その後RCは、ブロック (スクリーンを細かく分割した矩形の領域) 単位の負荷を各NCに分散し、各NCの実行を監視する。各NCは、割り当てられたブロック内の各ピクセルの輝度を計算し、専用の高速イメージバスに出力する。各NCからイメージバス上に出力された画像データは、データコレクタ (DC) により集められフレームメモリ (FM) に書き込まれる。

MCのAPUは、浮動小数点乗算器、加減算器、関数演算器 (sin, cos, 逆数, 平方根) を持ち、それぞれ基本的に2ステージのバイライン構成をとり、24ビットの浮動小数点演算を最大4M回/秒実行できる。また、プログラムメモリ及びデータメモリはそれぞれ2バンクからなり、APUが演算を行っている間に、MPUは次の処理のためのプログラム及びデータを準備することができる。そのため、APUへのプログラム及びデータの転送時間を無視することができ、APUとMPUは並行して動作する。

以下に、MC-1における画像生成手順を述べる。

RCは、1画面の物体データを全てのNCにグローバル送信し、NCの画像生成プログラムを起動する。NCは物体及び光源を視点座標系に変換し、それぞれの物体を囲むboxを作成する。

次にNCは、RCから割当てられた範囲のブロックに対し、各物体のboxを投影し各ブロックに写り込む可能性のある物体の番号を視点に近い順にソーティングしたリスト (ブロックリスト) を作成し、RCに送信する。

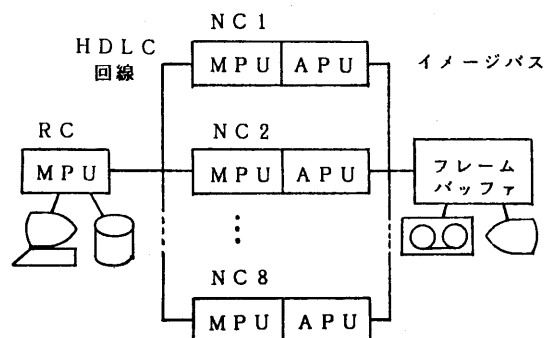


図1 MC-1のシステム構成

RCは全てのNCからブロックリストを回収した後、それぞれのNCにブロック単位で負荷を割り付け対応するブロックリストを送信し、以後NCを監視しながら全てのブロックの割り付けが終了するまでこれを行なう。

各NCでは、割り付けられた各ブロックについて、隠面処理、影処理、輝度計算、反射・透過処理を行ない、画像データをイメージバスに出力する。

隠面処理では、z_buffer法により、ブロックリスト中の物体データを処理し、ブロック内の各ピクセルに写り込む点の物体番号、z値、法線ベクトルを求める。三角板はスキャンコンバージョンで、楕円体はbox判定及び交差判定により写り込む点を求める。

影処理では、ブロック内の各ピクセルに写り込んだ点について、その点と光源を結ぶ直線と各物体の交差判定を行ない、光源からの光がさえぎられる場合にはその光源に対し影フラグをセットし、そのピクセルの輝度計算時にその光源を無視する。

輝度計算はPhongのモデルに基き、各ピクセルに写り込んだ点の座標、法線ベクトル、影フラグ、物体属性から輝度を計算しイメージバスに出力する。物体が反射・透過属性を持つピクセルは、対応する反射・透過フラグをセットし、画像データを出力しない。

反射・透過処理は、輝度計算後、反射・透過フラグがセットされているピクセルがある場合のみ行なわれ、レイトレーシング法により各ピクセルの輝度を求める。その際、複数の光線の処理をまとめて行なうことにより高速化を図っている。

3. MC-1の評価と検討

写真1にMC-1による画像生成例を示す。表1にこの画像を含め3種類の物体データに対するMC-1とVAX-11/780との画像生成時間の比較を示す。これからMC-1ではVAX-11/780 (アクセラータなし) に比べて約

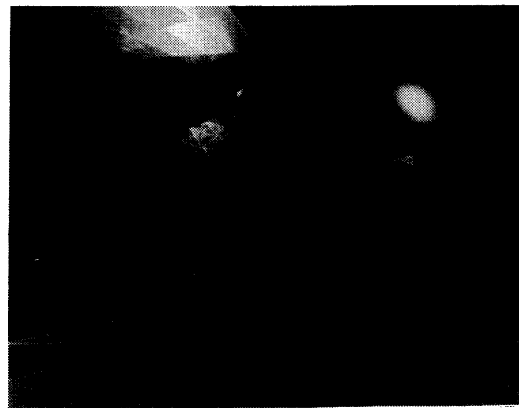


写真1 画像生成例 (玉と板)

50倍の画像生成速度を実現していることがわかる。

一方、表2にVAX-11/780とMC8台からなるMC-1との命令実行速度及び浮動小数点演算速度の比較を示す。MC-1の命令実行速度はMPUのMC68000の命令実行速度1MIPSとAPUの命令実行速度4MIPSを加え、MCの台数8を掛けたものである。またMC-1の浮動小数点演算速度はAPUの浮動小数点加減算器、乗算器、関数演算器が並行してパイプライン動作をした場合のピーク値4×3MFLOPSにMCの台数8を掛けたものである。APUの命令セットは低水準のマクロプログラムのなものであり、VAX-11の命令実行速度と同等に扱えないが、一方APUは1命令で多数の演算ユニットを同時制御できるため、逆にVAX-11の命令セットよりも高機能であると考えられる。表2で比較する限りでは、浮動小数点演算実行速度よりも命令実行速度比によって、画像生成時間比が定まっているようにみえる。

そこでAPUの各浮動小数点演算器の実行頻度を測定し、浮動小数点演算器の性能がどの程度まで生かされているのかを評価する。

まずAPUの稼働率について評価する。APUはMPUの制御下で動作しており、MPUとAPU間でのデータ転送待ち合わせによってAPUは停止状態となり、APUの実効率が低下する。写真1の画像を生成する際の各処理における全処理時間とAPUの動作時間とを測定した結果を表3に示す。測定のためのタイマルーチンのオーバーヘッドにより全処理時間は表1の結果と正確に一致していないが、APUは全画像生成時間の約4

表1 MC-1とVAX-11/780の画像生成時間

画像	VAX-11/780	MC-1
ロボット	151' 04"	3' 03" (49.5倍)
球2つと チェッカーボード (写真1)	167' 27"	4' 36" (36.4倍)
球3つと チェッカーボード	318' 38"	6' 30" (49.0倍)

表2 MC-1とVAX-11/780の実行速度(ピーク値)

	VAX-11/780	MC-1(ピーク値)
命令実行速度	1MIPS	40MIPS(40倍)
浮動小数点演算速度	0.2MFLOPS	96MFLOPS(480倍)

表3 画像生成の各処理の時間とAPUの動作時間
(写真1の画像生成時)

	全処理時間	APU動作時間	APU稼働率
陰面処理	9.28秒	1.49秒	16%
影付処理	71.16秒	25.39秒	36%
反射透過処理	217.64秒	112.72秒	52%
陰影処理	45.60秒	9.65秒	21%
計	343.68秒	149.25秒	43%

3%しか動作していないことがわかる。APUの稼働率を考慮すれば、表1の実行速度比は表4のようになる。

次にAPUの各浮動小数点演算器の実行頻度を求める。APUの浮動小数点演算器の実行状態を直接モニタすることは容易でないため、APUの動作をシミュレーションするAPUシミュレーションプログラムを用いて測定した。写真1の画像の全画面の画像生成をシミュレートするためには膨大な時間がかかるため、反射屈折処理の比率の大きな部分と小さな部分と2ブロック(1ブロックは16×16画素)についてシミュレーションを行った。結果を表5に示す。2つのブロックの結果を単純に平均するとAPUの実効浮動小数点演算速度は1.21MFLOPSとなりピーク値12MFLOPSの約10%の性能しか使われてないこととなる。APUの実効浮動小数点演算速度を考慮すれば、表4の実行速度比は表6のようになる。

以上の性能評価をもとにMC-1の性能改善について検討を行う。

① 8台のNCの並列実行度

すべての物体データを各NCが保持しており、画像生成実行中にMC間で通信する内容は動的負荷分散のための画面ブロックの割合のみであるため、並列実行のためのオーバーヘッドはほとんど無い。よってNCの台数に比例した画像生成速度が得られる。しかし、今回の実

表4 MC-1とVAX-11/780の実行速度比較
(APUの稼働率を43%とした)

	VAX-11/780	MC-1 (APU稼働率43%)
命令実行速度	1MIPS	21.76MIPS (21.76倍)
浮動小数点演算速度	0.2MFLOPS	41.28MFLOPS (206倍)

表5 浮動小数点演算器使用頻度
(APUシミュレーション結果、APU動作時間に対する値)
()内は非パイプライン動作の回数を示す)

演算器	反射屈折処理のある ブロック	反射屈折処理のない ブロック	予想平均実効 MFLOPS
加減算	1,583,850回 (0.87MFLOPS) (893,086回)	119,967回 (0.56MFLOPS) (73,438回)	0.72
乗算	747,381回 (0.41MFLOPS) (237,887回)	91,609回 (0.43MFLOPS) (34,616回)	0.42
関数	149,681回 (0.08MFLOPS) (146,384回)	10,485回 (0.05MFLOPS) (10,425回)	0.07
APU 動作時間	1.817秒	0.213秒	合計 1.21
非パイプ ライン率	51.5%	53.4%	平均 52.4%

表6 MC-1とVAX-11/780の実効速度比較
(APUの稼働率43%、1.21MFLOPS)

	VAX-11/780	MC-1
命令実行速度	1MIPS	21.76MIPS (21.76倍)
実効浮動小数点演算速度	0.2MFLOPS	41.6MFLOPS (20.8倍)

験では物体数が少ないため、すべての物体データを各NCが保持することができたが、実際に画像生成を実用に供する場合は物体データが多量になるため、各NCは物体データの一部分を保持し、必要に応じてRCより物体データを転送してもらうことになる。この場合、物体データ転送処理時間と画像生成時間との比のNC台数以上にNCを増設しても画像生成時間は短縮できなくなる。

この解決方法として、RC-NCの星状結合を階層化することにより、各星状結合内でのNC台数を適切な数に抑えつつ、全体のNC台数を増設する方法が報告されている(2)。我々は別の解決策として、NCを増設するかわりにNC内部の演算プロセッサを並列化することにより、プロセッサの増設を図る。

②APUの稼働率

MPUとAPUの役割分担として、MPUは16MBの大きな線形アドレス空間と種々のアドレッシングモードを持ち、複雑で大量の物体データを管理し、画像生成を高速化するためのアルゴリズムとデータ構造とを扱うのに適しており、APUは4Kワードの限られたデータメモリと、アドレスレジスタへのメモリアドレスの設定及びインクリメントだけというアドレッシングモードのため、単純なデータ構造のデータを高速にパイプライン演算するのに適している。MC-1では以上のように役割を専用化し、MPUとAPUの協調によって処理速度を向上させている。

しかし、APUの稼働率が全体で43%とあまり上がっていないのは、表3からわかるように各処理によってMPUとAPUとの負荷のバランスがとれていないためである。この原因として以下のものが考えられる。

1. APUでの処理に必要であると予想されるデータをMPUが準備するのに多くの手間がかかるのに反して、本当にAPUでの処理に必要なデータは一部分であり、APUの処理量は少量である場合がある。
2. APUのデータメモリが4Kワードしかないため、多くの種類のデータをデータメモリに詰め込んで、複雑な構造のデータをAPUに転送する場合には、APUの整数ユニットでのアドレス計算の負荷が大きくなる。特に反射透過処理の場合。
3. APUでの演算が簡単な割に、MPUでのデータのソート処理及びリスト処理の負荷が大きい場合がある。
 1. についてはAPUの処理の流れに合わせてMPUがデータを準備できればよい。2. についてはAPUのアドレス演算能力を上げてやればよい。もしくは、APUの処理単位を16×16画素より小さくし、1度にAPUへ転送するデータ量を小さくすることで、データメモリに複雑な構造のデータを入れないようにすれば、複雑なアドレス計算をAPUで行うことを避けられる。3. について

は画像生成アルゴリズムの問題であり、アルゴリズムを改善するか、MPUの性能を上げるかしかない。MCではAPUの性能に対しMPUの性能が低く、バランスがとれていないといえる。

③APUの実効浮動小数点演算速度

MC-1ではAPU最大性能の12MFLOPSの約10%しか使用されていない。これは3本のパイプライン浮動小数点演算器を同時に使用することはほとんどないことを示している。また表5に示したようにパイプライン演算器を使用したうちの52.4%はパイプライン動作させていないことがわかる。さらに浮動小数点演算器を全く用いないで、アドレス計算や条件判断等の処理を行なっている命令サイクルもかなりの割合を占めていると考えられる。表7に写真1の画像の反射透過処理のあるブロック(16×16画素)の画像を生成する時のAPUの浮動小数点演算以外の命令のうちのある一部分の命令の実行頻度をAPUシミュレータを用いて測定した結果を示す。これらはAPUの同一の命令フィールドを占めるため同時には実行できない。つまり全APU実行時間の61%でこれらの命令が実行されており、命令の性格上浮動小数点演算と並列して実行されるものは少ないことから、実行浮動小数点演算速度を低下させている主要原因と考えられる。その理由として、いくつかのまとまった浮動小数点演算を実行する前にデータメモリのアドレスを示すアドレスレジスタの初期化やアキュムレータや定数レジスタとして用いる浮動小数点レジスタの初期化等を行い、最後に結果の値を判断するというようなプログラム構成が基本になっているということが挙げられる。

これを改善するには、スーパーコンピュータでいうところのベクトル長を長くする、つまりできるだけ多くのまとまった浮動小数点演算を実行することが必要である。ところが、画像生成においては高々3次か4次の行列・ベクトル計算しかなくベクトル長を長くとれないとされている(2)。

しかし、上記の考え方は1本の光線に対して各物体との交差判定をし、輝度を計算し、反射透過処理を行なう

表7 APUの命令実行頻度のシミュレーション結果
(透過反射処理のあるブロック(16×16ドット))

APUの命令	実行回数	実行頻度
整数データ転送	1,104,524回	16.6%
整数イメージイェイト	1,107,580回	16.7%
浮動小数点イメージイェイト	235,238回	3.5%
条件判断	1,128,281回	17.0%
無条件ジャンプ	126,108回	1.9%
サブルーチン呼出	146,507回	2.2%
サブルーチン復帰	146,507回	2.2%
	計	61.0%

場合のものであり、(6)にあるようにいくつかのまとまった本数の光線に対して上記の処理を行えばベクトル長を長くとることができる。この方法は、画像を高品質化する場合、すなわち画面の画素数を増加させ(9)、アンチエイリアシングや分散レイトレーシング(10)を行う場合、光線の本数をますます増加させる必要があるため、さらに有利になると考えられる。

4. MC-2の構成

以上の考察に基づいて、画像生成用SIMD型マルチプロセッサシステムMC-2を構成する。まずSIMDに適したレイトレーシングアルゴリズムについて述べ、それに基づいてハードウェアを構成する。

4.1 SIMD向きレイトレーシング法

- ① まず画像を生成する前に物体全体が収まる箱を作成し、この箱を分割してvoxelを作成する(8)。各voxelに包まれる物体の基本形状数がある数以下になるまでvoxelの再分割を繰り返す。
- ② 各voxelごとに、視点から表示スクリーンを通して、そのvoxelへ入射する光線データを各voxelごとの光線キューに入れておく。
- ③ 一定のベクトル長に達した光線キューに入っている光線データと、そのvoxel内に存在する基本形状との最も視点に近い交点を求める。交点がなければ、その光線の進行方向に隣接するvoxelの光線キューに入れなおす。進行方向にvoxelがなくなれば、その光線データは消去する。
- ④ 交点の得られた光線については、交点における輝度を求め、その光線の輝度の画素の輝度に対する寄与率を掛けて画素の輝度に加える。交点における表面の属性に従って反射光線、透過光線、光源へ向かう光線を生成し、そのvoxelの光線キューに追加する。
- ⑤ すべての光線キューが空になるまで、③④を繰り返す。

以上の処理において、アンチエイリアシング処理が必要な場合には、次のような処理を加える。スクリーン上の隣接する画素間で、ある一定値以上の輝度差があるときには、画素に対して数本の光線を出し輝度を再計算する。これらの光線のその画素に対する寄与率の合計は1となる。モーションブラや半影等を分散レイトレーシングで実現する場合も同様である。

このアルゴリズムがSIMD型マルチプロセッサ向きであるとするのは以下の理由からである。

- ①一定の長さのベクトル長が確保できる。
- ②voxel というローカルな空間内での処理単位に分割す

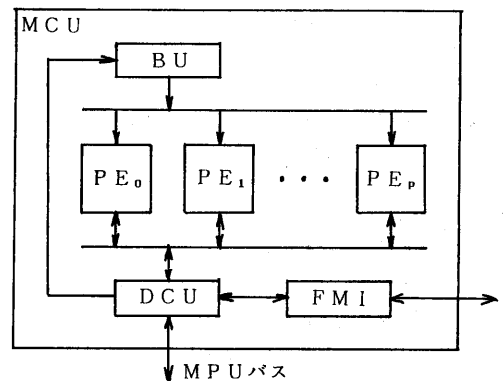
るため、データの coherence 性がある程度保て、処理の流れがデータに強く依存しても、処理効率の低下を抑えられる。

4.2 MC-2のハードウェア構成要件

まず上記のSIMD向きレイトレーシングアルゴリズムを処理するために必要となるハードウェア構成要件を以下に列挙する。

- ①物体データvoxel単位で管理し、マルチプロセッサに対して物体データ放送するユニットBU
(BU:Broadcasting Unit)
- ②光線データをvoxel単位で管理し、マルチプロセッサに対して光線データを分配・回収するユニットDCU
(DCU: Distributing & Collecting Unit)
- ③輝度データをpixel単位で管理し、マルチプロセッサからの輝度データを累積するユニットFM
(FM: Frame Memory Interface)
- ④DCUからの光線データに対し、BUからの基本形状データとの交差判定を行い、輝度の計算、新たな光線データの生成等を行うプロセッサエレメントPE

以上の構成要件の全体の管理は、アルゴリズムの流れからわかるようにDCUで行なう。またPEの処理の流れは物体データに依存するため、BUからすべてのPEに対して実行制御命令を放送する。以上の構成を図2に示す。このMC-2の基本構成要素をモデリング&コンピュータユニット(MCU)と呼ぶ。



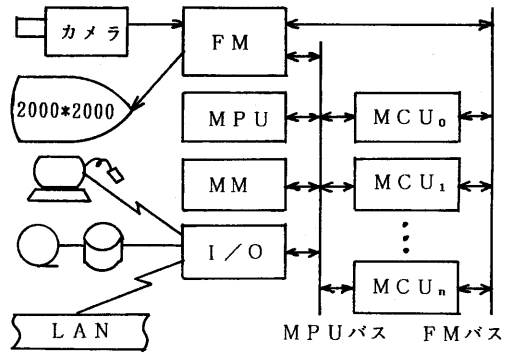
MCU : Modeling & Computing Unit
 BU : Broadcasting Unit
 PE : Processor Element
 DCU : Distributing & Collecting Unit
 FMI : Frame Memory Interface

図2 MC-2の基本構成要素MCU

4.3 MC-2の実現構想

図3にシステム構成を示す。MC-2はネットワークシステム中の1ノードとして存在し、ネットワークシステムの動的負荷分散機能により、多数のMCUをもつノードは、モデリング&コンピュータサーバとしての性格を強くもち、MCUの少ないノードはワークステーションとしての性格が強くなる。

図4にMCUの構成を示す。BU、DCUは各々8MIPSの性能をもち、PEは加算器8MFLOPS、乗算器8MFLOPS、計16MFLOPSの性能をもち、プログラムメモリ及びデータメモリは1MB単位で増設できる。PEのレジスタは4Kワードあり、サイクルステールで3ポートレジスタとしている。2ポートはPE用、1ポートはDCU用である。レジスタアドレスコントローラはサイクルステールの制御とDCU-PE間のデータ交換を効率よく行なうためのベースアドレス修飾とを行う。フレームメモリインターフェースはフレームメモリをDCUのアドレス空間内にマッピングし、複数のMCU間の競合を調停する。またDDA(Digital Differential Analysis)を用いた描画ハードウェアを用いてスキャンラインアルゴ



FM : Frame Memory
 MPU : Main Processing Unit
 MM : Main Memory
 MCU : Modeling & Computing Unit
 LAN : Local Area Network

図3 MC-2システム構成

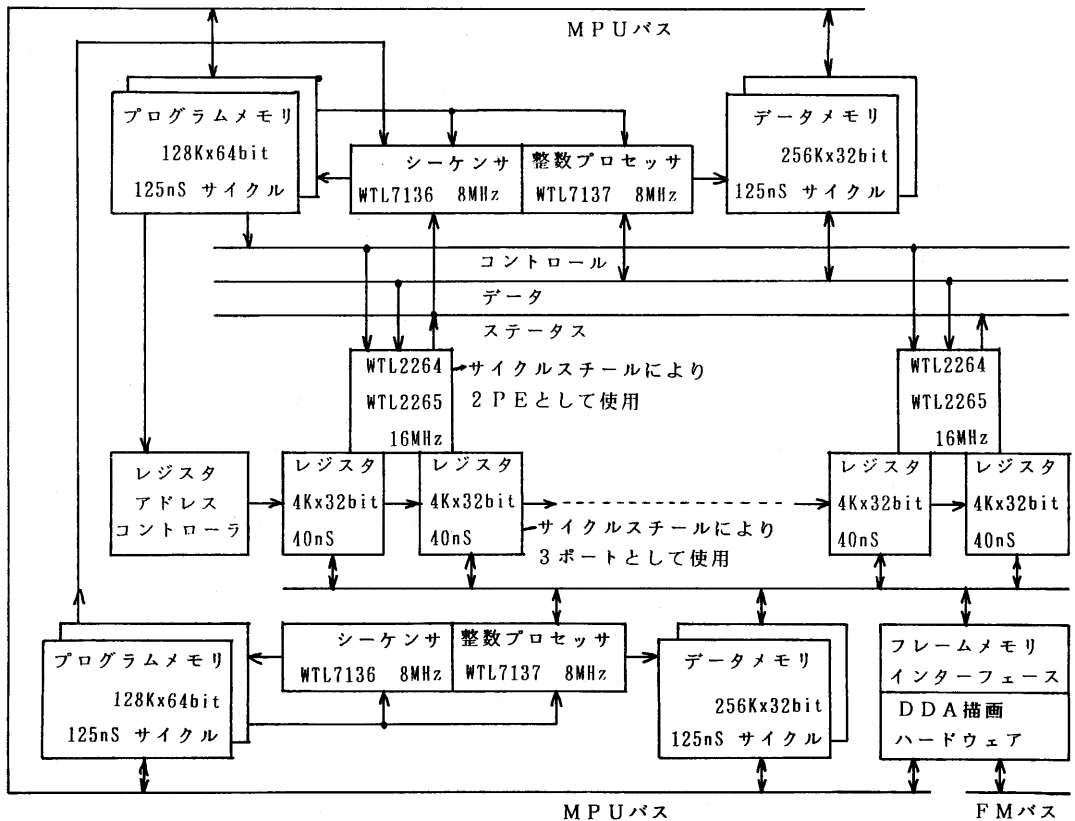


図4 MCUの構成

リズムによる画像の生成を効率よく行うこともできる。

PEボードには、WTL2264, WTL265が各2個ずつ載り、1ボードで4PEとなり最大64MFLOPSの性能となる。8枚のPEボードから成るMCUを2セット持つMC-2はMC-1と同一サイズのラックに収まり、最大1GFLOPSの性能を発揮できる。

4.4 MC-2の構成についての考察

MC-1に対する構成上の利点について以下に述べる。

- ①MPU-MCU-PEという階層化と各階層間の転送速度の改善によりプロセッサ数をMC-1よりかなり多くしても処理速度が飽和しない。
- ②MCUをSIMD化することによりプログラムメモリ及びデータメモリを共有化し、演算回路に対するメモリ回路の比率を小さくでき、ULSI化へと一歩前進した。
- ③MC-1におけるMPUとAPUの役割分担を明確化することでDCUとBUという構成とし、MC-1でみられた種々のMPU-APU間のオーバーヘッドを解消し得る。
- ④アンチエイリアシングや分散レイトレーシング等の高品質の画像生成からスキャンライン法等の低品質の画像生成にわたる広範囲の画像生成を品質にみあった時間で生成できる上、これらの画像の合成をFM上で行える。
- ⑤MC-1に比べてデータメモリ量、プログラムメモリ量を大幅に増設可能とした。またPE-DCU間での同期・データ転送を単純化したことで、PE-DCU間でのデータバケットを小容量化し、バケット流量を上げることができる。よって、きめの細かいアルゴリズムの実現を容易にした。
- ⑥MC-1とほぼ同程度の匡体サイズに、最大浮動小数点演算速度でMC-1の96MFLOPSに対し1GFLOPSと1桁性能向上した。レイトレーシングによる画像生成では2桁程度の性能向上が期待でき、写真1の画像を数秒で生成する。また複雑なシーンの画像生成においても、空間分割アルゴリズムの特性上⑧、ほぼ同程度の時間で生成できる。

5. まとめ

MC-1の評価と検討により画像生成用マルチコンピュータシステムの実現上の種々の問題点を明確化し、MC-2の基本構成について述べた。

MC-2はレイトレーシング法による画像生成の高速化をめざしたSIMD型マルチプロセッサシステムである。その構成上の特徴は物体データの流れと光線データの流れとを別々に管理するユニットを設け、物体データ

の空間分割アルゴリズムを採用することにより、この2つのユニットの間で多数のプロセッサエレメントを効率よく動作させることである。MC-1と同一サイズのハードウェア構成で約2桁の処理速度向上を達成する見通しが得られた。

今後、MC-2の実現を行いつつ、SIMD向きレイトレーシング法のシミュレーション及び評価を行う。そして、ネットワークシステム化とワークステーションとしてのマンマシンインターフェースについても検討を進めてゆく予定である。

謝辞 日頃御指導賜わる無線研究所 中島昌也所長、大阪大学工学部 大村皓一助教授、白川 功助教授、イリノイ大学 出口 弘氏に感謝する。

参考文献

- [1] T. Whitted: "An Improved Illumination Model for Shaded Display" CACM, Vol. 23, NO. 6, pp343-349 (1980-6)
- [2] 出口他: "視線探索法による画像生成のための木構造並列処理システム", 信学論Vol. J69-D, NO. 2 (1986-2)
- [3] 日高他: "マルチコンピュータ画像生成システムMC-1", 情処計算機アーキテクチャ研資85-CA-58-5(1985-6)
- [4] 吉田他: "グラフィックス計算機SIGHTの基本構成", 情処計算機アーキテクチャ研資85-CA-60-4 (1985-12)
- [5] M. Dippe et al: "An Adaptive Subdivision Algorithm and Parallel Architecture for Realistic Image Synthesis", ACM, SIGGRAPH'84, Computer Graphics, 18-3, PP 149-158(1984-7)
- [6] D. J. Plunkett et al: "The Vectorization of a Ray-Tracing Algorithm for Improved Execution Speed", IEEE CG&A pp52-60(1985-8)
- [7] 山本他: "変形オクトリーを用いた光線追跡の高速化アルゴリズム", 情処グラフィックスとCADシンポジウム資料PP45-51(1985-12)
- [8] 村上: "Voxel分割を用いた高速化レイトレーシング", 情処第32回全国大会資料5V-2, PP2082, (1986-4)
- [9] 辻岡他: "超高精細高速曲面表示技術の開発", 情処グラフィックスとCADシンポジウム資料, PP167-175(1985-12)
- [10] Cook et al: "Distributed ray tracing", SIGGRAPH'84 Computer Graphics 18-3, pp137-145 (1984-7)